# 営業車両による通り変位測定データに基づく 軌道力学状態の推定

新潟大学大学院自然科学研究科 新潟大学工学部 東日本旅客鉄道(株) 新潟大学工学部 学生員 千葉 颯兵 正会員 阿部 和久 正会員 小松 佳弘 正会員 紅露 一寛

# 1. はじめに

鉄道軌道のロングレール化は、乗り心地の改善や、周辺環 境への振動・騒音の低減、保守作業の省略化などに有効とな るなど、多くの利点を有する. しかし、ロングレールは長い 区間に亘ってまくらぎで拘束されることで、著大な温度軸力 が作用するため、座屈や破断の危険性を内在しており、座屈 の防止策として、バラスト道床による軌道の変形抑制などの 手段が講じられている。そのため、軌道の横方向変位に対す る道床の抵抗力である道床横抵抗力は、軸力とともに維持管 理上重要な指標となっている. 現在, 軸力はレール温度とひ ずみゲージ等で測られた伸縮量から間接的に求められてい る。また、道床横抵抗力はまくらぎに荷重を加えて、その移 動量を測定することで評価している。そのいずれの方法も 現場での測定となるため、軌道全区間において測定するとな ると膨大な時間と労力が必要となり、現実的でない、一方で、 軌道の通り変位は、軌道上を車両が走行する際の加速度等か ら比較的良好な精度で求めることが可能になっている<sup>1)</sup>.

軸力に起因してレール変位が発生するため、軌道変位が 詳細にわかれば、これに基づいてレール軸力が推定可能にな ると思われる。そこで本研究では、営業列車に搭載された加 速度計などによって日常的に測定される通り変位データか ら、レール軸力を常時モニタリングする手法ついて、基礎的 検討を行う。具体的には、左右レールから構成される軌道系 を対象として、締結部の変位を考慮したレール軸力を推定す る理論を構築し、数値実験によりその妥当性を検討する。ま た、道床横抵抗力の推定の可能性についても言及する。

#### 2. 左右レールの通り変位測定データ

左右それぞれのレールの 10m 弦正矢の測定例を図.1,図.2 に示す. なお,データは直線区間において測定されたものである. 図より測定値の波形は左右レールで異なることがわかる. 次に,図.1 における夕方 (16 時 45 分)の測定値 (赤線)と朝 (6 時 25 分)の測定値 (青線)との差分を図.3 に緑線として示す. 同様に図.2 における場合のものを図.3 に橙線として合わせて示した.図.3より,測定値は左右のレールで異なるが,その差分は両者で似通った波形になることが確認できる.以上のことから,左右のレールはそれぞれ異なる初期

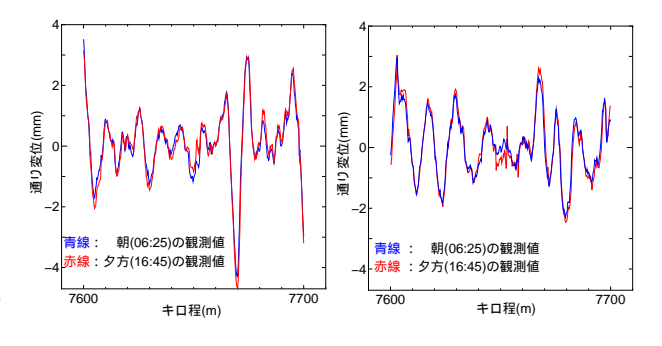


図.1 左側レール通り変位 図.2 右側レール通り変位

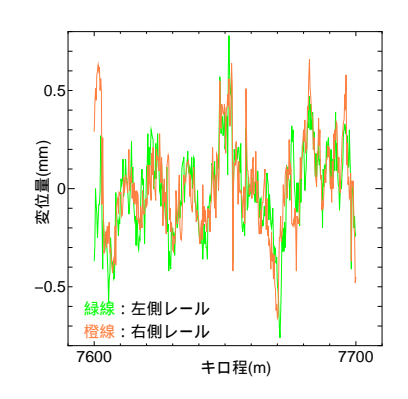


図.3 左右レールの弾性たわみ成分の比較

通り変位を有し、そこから弾性たわみが成長するため、測定値は左右において異なるが、図、3のように差分をとり、両者を比較すると、弾性たわみ成分の波形が類似することが分かる。 つまり敷設後の左右レールはまくらぎを介して概ね一体となって振る舞い、その変位量がまくらぎ変位として現れることになる。

### 3. 締結部の変位を考慮したレール軸力推定

前述のように、レールは締結装置を介してまくらぎに接合されているので、レール変位とまくらぎ変位とには差異が生じる。よって、レールたわみとまくらぎ変位は一致しない。また、左右レールは異なる初期通り変位を有するので、軸力作用下の弾性たわみも完全には一致しない。そのため、締結部からレールに作用する力も左右レールで異なる。したがって、左右いずれか一方の作用力がわかっても、道床横抵抗力を与えず、それらの合力を評価する必要がある。

締結部に作用する力は、レールとまくらぎとの相対変位に より与えられる。すると、レールのつり合い式は次式で与え

Key Words: ロングレール, 軸力, 常時モニタリング

連絡先: 950-2181 新潟市西区五十嵐二の町 8050 番地 TEL 025 (262) 7028 FAX 025 (262) 6775

られる.

$$EIw_R'''' + N(w_R'' + w_{R0}'') + k_r(w_R - w_s) = 0,$$
  

$$EIw_L'''' + N(w_L'' + w_{L0}'') + k_r(w_L - w_s) = 0$$
(1)

ここで, E はレールのヤング率, I はレール弱軸回りの断面 二次モーメント, N は軸力 (圧縮を正),  $w_R, w_L$  は左右レー ルの弾性たわみ,  $w_{R0}, w_{L0}$  は初期通り変位,  $w_s$  はまくらぎ 変位,  $k_r$  は締結部の横剛性である。また, () は軌道長手方 向座標 x に関する微分である.

式 (1) には、まくらぎ変位  $w_s$  が含まれている。 まくらぎ のつり合い式は次式で与えられる.

$$k_s w_s = k_r (w_R + w_L - 2w_s) (2)$$

ここで, $k_s$  は道床横剛性である.

式 (2) を  $w_s$  について解くと次式を得る.

$$w_s = \frac{k_r}{2k_r + k_s} (w_R + w_L)$$
 (3)

式(3)を式(1)に代入して  $w_s$  を消去すると、次式を得る.  $EIw_{R}^{\prime\prime\prime\prime} + N(w_{R}^{\prime\prime} + w_{R0}^{\prime\prime}) + k_{r}w_{R}$ 

$$-\frac{k_r^2}{2k_r + k_s}(w_R + w_L) = 0,$$

$$EIw_L'''' + N(w_L'' + w_{L0}'') + k_r w_L$$

$$-\frac{k_r^2}{2k_r + k_s}(w_R + w_L) = 0$$
(4)

式(4)両式の和をとると次式を得る.

$$EIw_{RL}^{""} + N(w_{RL}^{"} + w_{RL0}^{"}) + \tilde{k}_T w_{RL} = 0,$$

$$w_{RL} := w_R + w_L, \quad w_{RL0} := w_{R0} + w_{L0},$$

$$\tilde{k}_T := k_r - \frac{2k_r^2}{2k_r + k_s}$$
(5)

一方、軸力が $N + \Delta N$ であるときのつり合い式は、たわみ 増分  $\Delta w$  を用い次式で与えられる.

$$EI(w_{RL}'''' + \Delta w_{RL}''') + (N + \Delta N)(w_{RL}'' + \Delta w_{RL}'' + w_{RL0}'' + \tilde{k}_T(w_{RL} + \Delta w_{RL}) = 0$$
(6)

式(6)から式(5)第1式を引くと次式を得る.

$$EI\Delta w_{RL}^{""} + (N + \Delta N)\Delta w_{RL}^{"} + \Delta N(w_{RL}^{"} + w_{RL0}^{"}) + \tilde{k}_T \Delta w_{RL} = 0$$
(7)

さらに式(7)のxに関するFourier変換より次式が成り立つ.

$$k^{2} \frac{\hat{w}_{RL} + \hat{w}_{RL0}}{\Delta \hat{w}_{RL}} = \frac{1}{\Delta N} \{ EIk^{4} - (N + \Delta N)k^{2} + \tilde{k}_{T} \}$$
 (8)

ここで k は波数,  $\hat{()}$  はレール長手方向に関する Fourier 変換 を意味する.

測定データから式(8)左辺を求めることができる。これを 次式のように波数 k の 4 次関数で与える.

$$k^{2} \frac{\hat{w}_{RL} + \hat{w}_{RL0}}{\Delta \hat{w}_{RI}} := f(k) = ak^{4} - bk^{2} + c \tag{9}$$

式 (9) 右辺の未知係数 a,b,c を最小二乗法により決定し、関 数 f の最小値を与える波数  $k_m$  を求めると、次式を得る.

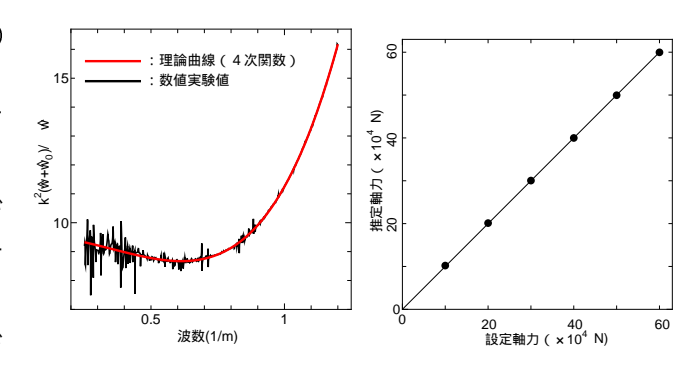


図.4 数值実験結果

図.5 軸力推定精度

$$k_m = \sqrt{\frac{N + \Delta N}{2EI}} = \sqrt{\frac{b}{2a}} \tag{10}$$

式 (10) の第 2, 3 式より得られる次式から絶対軸力  $N+\Delta N$ を求めることができる。

$$N + \Delta N = EI \frac{b}{a} \tag{11}$$

また、道床横抵抗力 $q_s$  は次式で求めることができる。  $EIw_{RL}^{""} + N(w_{RL}^{"} + w_{RL0}^{"}) = q_s$ 

(4) 式 (8) による軸力推定では、全通り変位  $(w_{RL} + w_{RL0})$  とそ の増分が分かれば良い.一方,式(12)による道床横抵抗力を 推定する際には、弾性たわみを求める必要があるため、全通 り変位から初期通り変位を分離する必要がある. これにつ いては今後の課題である.

# 4. 数値モデルによる検証

50kgN レールを想定し, 軌道長は約800m とした. また, 左 右レールから構成される軌道系を考えた場合の道床横剛性  $ilde{k}_T$  は 6.23 ×  $10^4$ N/ $\mathrm{m}^2$  と設定した.

軌道は弾性連続支持された Euler ばりでモデル化する こ れをはり要素で離散化し、初期通り変位とレール軸力を設定 して変位解析を実施した. そのたわみ解の Fourier 変換より、  $k^2(\hat{w}+\hat{w}_0)/\Delta\hat{w}$  を求めた一例を図.4 に示す. 数値実験結果 には、長波長成分に乱れが認められるが、これは有限長で軌 (7) 道をモデル化したためと考えられる.

式(11)より軸力を推定した結果を図.5 に示す. 図の横軸 が設定値、縦軸が推定値である、図より、前述の理論によっ て極めて高い精度で軸力推定が可能であることがわかる。

# あわりに

本研究では、通り変位データを用いたレール軸力推定手法 を構築し、その理論的妥当性を確認した、今後は、初期通り 変位の推定法、測定ノイズの影響などについて検討するつも りである.

葛西亮平, 矢作秀之, 小西俊之, 線路設備モニタリング装置の自動測定ロジック改善, 鉄道工学シンポジウム論文集第20号, No.7, pp.45-48, 2016.7